arXiv:2603.09333v1 [cs.PF] 10 Mar 2026

面向 Xtensa LX6 微控制器的线性代数与三角函数加速动态精度数学引擎

Elian Alfonso Lopez Preciado

独立研究员，墨西哥

2026年3月

摘要

低成本嵌入式处理器（如 ESP32（Xtensa LX6，32 位，双核，240 MHz））正越来越多地应用于边缘计算场景，以满足实时物理仿真、传感器融合和控制系统的需求。尽管 ESP32 集成了单精度 IEEE 754 浮点单元，但与整数算术逻辑单元（ALU）操作相比，使用该单元会造成流水线中断并增加能耗，因而为浮点密集型工作负载设定了实际吞吐量上限。

本文介绍了**动态精度数学引擎** 的设计、形式化规范和实证评估。该引擎通过三项集成创新来解决这一限制。首先，Q16.16 定点算术核心将所有数学操作映射到 Xtensa LX6 的 32位整数流水线中，乘法只需两到三条汇编指令，舍入误差有界，为 $|\epsilon| \leq 2^{-17}$。其次，16 次迭代的 CORDIC 三角函数模块完全通过加法和二进制移位计算正弦和余弦，角误差界为 $|\epsilon_\theta| \leq 1.526 \times 10^{-5}$弧度，静态内存占用仅为 64 字节。第三，采用延迟 Q16.16 校正的缓存感知分块矩阵乘法内核，将每个元素的舍入次数从 b 降至一次，其中 $b = 32$ 是根据 ESP32 静态随机存取存储器（SRAM）存储体结构推导出的分块维度。

该引擎在架构上的主要创新，是一种运行时精度切换机制——通过函数指针分派和两阶段 FreeRTOS 屏障协议实现——使应用程序代码能够在 Q16.16 快速路径与 IEEE 754 精确路径之间切换，且无需重新编译，$O(1)$ 即可实现。这一设计遵循 BLAS 规范 [4] 所确立的关注点分离原则，并将其应用于双核 RISC 微控制器上动态精度仲裁这一新颖场景。引擎的静态内存总占用为 88 字节，不受矩阵维度影响。

在物理 ESP32-WROOM-32 硬件上开展的、涵盖 300 次配对测量的实验评估表明，CORDIC 三角函数模块对正弦和余弦均达到 293 周期数的中位延迟，所获得的平均加速比为

18.54× 与**24.68**×，分别相对于标准 sinf()/cosf()（Wilcoxon 检验，$p < 10^{-12}$），确定性得分为 0.994，证实了与输入无关的执行时间。标量 Q16.16 乘法以 12 周期数对比 18 周期数实现了稳定的**1.5**× 加速比，并具有完美的确定性。矩阵乘法性能呈现出与维度相关的交叉点：对于小于分块大小（$n < 32$）的矩阵，分块内核的表现不及朴素浮点，而理论分析预测该交叉点位于 $n \geq 64$——这一结果有待在未来工作中进行实证验证。该引擎填补了 ESP32生态系统中一个已识别的空白：现有库均未提供将三角函数、线性代数与运行时模式选择相结合的统一精度感知数学 API。

关键词：定点算术、CORDIC算法、Q16.16、ESP32、Xtensa LX6、嵌入式计算、边缘计算、循环分块、FreeRTOS、动态精度切换。

目录

1 引言 **5**

2 相关工作 **6**

2.1 嵌入式系统中的定点算术 .62.2 CORDIC算法及其嵌入式实现. . . . . 72.3 缓存感知矩阵乘法 .72.4 ESP32生态系统的数学库 .72.5 已确定的研究空白 .7

3 数学基础 **8**

3.1 Q16.16 格式的定点算术 .83.1.1 算术运算 .83.1.2 溢出分析 .83.2 用于三角函数计算的 CORDIC 算法.93.2.1 几何基础 .93.2.2 收敛与 CORDIC增益 .93.2.3 误差界.93.3 通过循环分块实现缓存感知矩阵乘法 .103.3.1 循环分块公式 .103.3.2 ESP32 的块大小推导 .103.3.3 延迟移位累加 .10

4 系统 内存架构 1 **0**

4.1 设计依据：运行时与编译时精度选择 . . . . . 104.2 精度上下文：形式化定义.114.3 通过 FreeRTOS 进行双核任务编排 .114.3.1 模式转换安全协议 .114.3.2 内存架构 .124.4 API 设计 .12

5 实现 **12**

5.1 Q16.16 算术核心 .125.2 CORDIC 三角函数模块 .135.3 分块矩阵乘法内核 .145.4 溢出与下溢管理 .14

6 实验评估 15

6.1 实验设置与方法论.156.2 三角函数性能 .156.3 标量乘法性能 .166.4 矩阵乘法：边界条件发现 .166.5 运行时精度切换开销 .166.6 统计有效性 .166.7 结果总结 .17

7 讨论 **18**

7.1 结果解读 .1 8

7.2 矩阵乘法交叉问题 .187.3 局限性 .19

8 未来工作 19

8.1 解决矩阵乘法的性能交叉点（当前优先事项）. . . . 198.2 无分支CORDIC象限归一化.198.3 平均绝对误差表征.198.4 张量运算与TinyML推理.208.5 面向安全边缘节点的椭圆曲线密码学.208.6 分布式多节点线性代数.20

9 结论 20

1 引言

低成本、低功耗微控制器作为边缘系统计算基础的广泛普及，在嵌入式软件工程中造成了一种根本性矛盾。诸如 ESP32 这样的设备基于 Xtensa LX6 双核架构，售价不到 3 美元，且据估计，已在工业自动化、机器人、环境传感和消费级物联网（IoT）领域部署超过十亿台。人们越来越期待它们能够执行以往只有强大一个数量级的处理器才能胜任的工作负载。物理仿真、通过卡尔曼滤波实现的传感器融合、实时运动学和数字信号处理，归根结底都可归结为两种相同的操作：三角函数计算和矩阵乘法。微控制器执行这些操作的效率，不仅决定了性能，还决定了某个硬件平台究竟能够支持哪些应用。

ESP32 的 Xtensa LX6 集成了单精度 IEEE 754 浮点单元（FPU），能够通过硬件加速算术运算。然而，该 FPU 的实际吞吐量受多种因素制约，而这些因素无法通过汇总基准测试数据体现出来。每次浮点操作都需要在多个流水线阶段中进行尾数对齐、指数管理、规格化和异常处理；由此产生的指令延迟会扰乱整数流水线，并带来额外的能耗，而 Xtensa 架构受算术逻辑单元限制的执行模型并不能高效地消化这些开销 [17]。对于每个控制周期要调用数百次三角函数的应用场景——例如六自由度机械臂以 1 kHz 频率计算正向运动学——每次操作的额外开销会累积成吞吐量上限，仅靠标准数学库中的固件优化无法突破这一上限。

嵌入式社区针对这一限制所采取的应对方式较为零散。Espressif 官方的 esp-dsp 库提供了针对 Xtensa 优化的信号处理原语内核，例如快速傅里叶变换、有限脉冲响应滤波和点积，但明确不包含三角函数，而是将其交由标准 math.h 绑定处理 [18]。ArduinoEigen 和 BasicLinearAlgebra 等通用线性代数库仅支持 IEEE 754 浮点运算，不考虑流水线开销。TensorFlow Lite Micro 提供了针对神经网络推理优化的 INT8量化内核，却没有提供通用数学应用程序编程接口 [12]。因此，需要同时实现高效三角函数、矩阵运算和精度控制的 ESP32 开发者，找不到统一的工具：整个生态由一系列专用解决方案组成，缺少共同的抽象层。

本文通过为 ESP32 Xtensa LX6 设计、实现并实证评估一款**动态精度数学引擎**，填补了这一空白。该引擎的核心贡献在于其架构：它提供运行时精度切换机制，使应用程序代码能够在执行过程中的任意时刻，在快速整数路径和精确浮点路径之间进行选择，无需重新编译，也无需修改应用程序的数学应用程序接口。快速路径基于三项算法基础构建。首先，Q16.16定点运算将所有数学操作映射到 32位整数算术逻辑单元上，乘法只需两到三条汇编指令，且量化误差界为 $|\epsilon| \leq 2^{-17}$ [10, 20]。其次，16 次迭代的旋转模式 CORDIC算法仅通过加法和二进制移位计算正弦和余弦，从三角流水线中移除了所有浮点

运算 [1, 2]。第三，采用延迟 Q16.16 校正的缓存感知分块矩阵乘法内核，利用 ESP32 的 SRAM存储体几何结构，处理矩阵维度超过分块维度的情况 [3, 5]。该切换机制通过函数指针分派实现，并由两阶段 FreeRTOS 屏障协议控制，遵循原始 BLAS 规范确立的关注点分离原则 [4]。

在实体 ESP32-WROOM-32 硬件上进行的实验评估涵盖 300 次配对测量，所得结果不仅显著，而且颇具启发性。CORDIC 三角函数模块中，正弦和余弦的中位延迟均为 293 个周期数，而标准 sinf()/cosf()分别需要 6,915 和 7,847 个周期数，平均加速比分别为 18.$54\times$ 和 24.$68\times$ ，并在 $p < 10^{-12}$处获得统计确认。矩阵乘法结果揭示了一个与维度相关的边界条件：对于测试维度（$n \leq 16$），分块内核的性能不如朴素浮点实现，表明条件 $n \geq b = 32$ 是启用分块优化的先决条件。这一发现精确刻画了该引擎的运行范围，并验证了运行时切换机制的必要性：没有任何单一执行路径能够始终实现最优性能，而该引擎的价值在于使应用层能够明确、安全且无成本地在不同路径之间进行选择。

本文其余部分的组织结构如下。第 2 节综述相关工作。第3 节阐述数学基础。第 4 节介绍系统架构。第5 节详细说明实现。第 6 节呈现实验评估。第7 节讨论研究发现。第8和9 节介绍未来工作并总结全文。

2 相关工作

在资源受限处理器上加速数学计算是一个成熟的研究领域，但文献中对基于Xtensa的微控制器上动态精度仲裁这一特定挑战的探讨仍不充分。本节将综述构成本引擎的四大支柱。

2.1 嵌入式系统中的定点算术

自专用DSP芯片早期应用以来，定点算术一直是数字信号处理的基石 [16, 21]。Q格式表示法为将小数值表示为缩放整数提供了系统化框架，使缺少硬件浮点单元或浮点单元吞吐能力有限的处理器能够执行受ALU限制的计算 [20]。Yates [20]指出，对于Q($m.n$)表示法，舍入误差的上界为 $2^{-(n+1)}$，这一性质是第 6 节精度分析的核心。Sung和Kum [10]提出了用于定点数字信号处理系统字长优化的仿真方法，与本研究选择Q16.16格式的依据直接相关。

近期研究探讨了神经网络量化背景下的定点算术。Jacob 等人 [11]证明，在推理任务中，量化整数表示能够将模型精度保持在可接受的误差范围内。然而，关键在于，这些研究针对的是 GPU 和 FPGA 架构；其方法并未考虑 Xtensa LX6 的特定流水线特性，而该架构的 64 位中间乘积

在 Q 期间 16.16 乘法需要谨慎进行寄存器管理，以避免流水线停滞 ls.

2.2 CORDIC算法及其嵌入式实现

Volder 提出的 CORDIC（坐标旋转数字计算机）算法 [1],仍是计算机算术领域中被引用最多的成果之一。其重要意义在于，它通过迭代加法和二进制移位，将三角函数计算简化，并完全消除了对硬件乘法器的需求。Walther 于 1971年提出的统一扩展 [2]将该方法推广至双曲函数、指数函数和平方根。Llamocca 和 Agurto [7] 提出了扩展双曲 CORDIC 算法的定点实现，与嵌入式部署直接相关。Mokhtar 等人 [8] 以及 Ait Madi 和 Addaim [9] 记录了当代用于三角函数生成的 CORDIC 硬件实现，证实在整数主导流水线上，相较于软件浮点运算，延迟可降低 $3\times$ 至 $8\times$ 。现有文献中的一个关键缺口是，尚无已发表的 CORDIC 实现专门针对 Xtensa LX6指令集进行性能分析 [18]。

2.3 缓存感知型矩阵乘法

Lam、Rothberg 和 Wolf 的开创性研究 [3] 正式证实，循环分块可将缓存行传输次数从 $O(n^3)$ 降至 $O(n^3/B)$，其中 B 表示块大小。Goto 和 van de Geijn [5]通过微内核设计进一步将性能提升至接近理论峰值。Kelefouras 等人 [6] 提出了关于 CPU 和 GPU 矩阵乘法的全面方法论，其中包括寄存器分块的影响。Williams 等人提出的 Roofline 模型 [14] 为理解算术强度与内存带宽之间的权衡提供了理论框架，这种权衡正是分块策略的依据。这些研究聚焦于 x86 和 GPU 架构；若不重新进行性能分析，其分块参数无法直接应用于 Xtensa LX6存储子系统 [17]。

2.4 ESP32生态系统的数学库

ESP32 数学加速的实际应用格局分为三类。首先，乐鑫的 esp-dsp 库 [18] 针对信号处理原语提供 Xtensa优化汇编，但明确不包含三角函数。其次，Arduino 生态系统中的 BasicLinearAlgebra 和 ArduinoEigen 等库提供基于模板的矩阵运算，且编译后仅支持 IEEE 754浮点。第三，TensorFlow Lite Micro [12] 包含用于神经网络推理的 INT8量化内核，但没有提供适用于物理仿真或控制系统的通用数学应用程序接口。Courbariaux 等人 [13]进一步展示了用于深度学习的二值权重量化，强化了精度感知计算的广泛动机。

2.5 已识别的研究空白

上述调查揭示了一种一贯的模式：现有解决方案分别针对信号处理（esp-dsp）、通用线性代数（ArduinoEigen）或推理（TFLM）进行优化，但没有任何一种能提供统一的引擎，同时满足以下条件：(1) 提供单一、面向开发者的应用程序编程接口，(2) 允许运行时在定点和浮点执行路径之间进行选择，(3) 在同一定点域内集成基于CORDIC的三角学，以及 (4) 通过 FreeRTOS 任务模型协调

ESP32 双核上的计算。拟议的引擎正是为了解决这一交汇领域的问题。

3 数学基础

3.1 Q16.16 格式中的定点算术

定点算术将实数表示为缩放整数，其中预先规定的位数分配给小数部分。对于一般的 Q(m.n) 格式，实数值 $v \in \mathbb{R}$ 按如下方式表示为整数 $V \in \mathbb{Z}$：

$$V = \lfloor v \cdot 2^n \rceil \tag{1}$$

其中 $\lfloor \cdot \rceil$ 表示舍入到最接近的整数， n 为小数位数。使用 w 位字的有符号 Q(m.n) 格式的可表示范围为：

$$v \in \left[-2^{m-1},\ 2^{m-1} - 2^{-n}\right] \tag{2}$$

所提出的引擎采用 Q16.16 格式，在 32 位有符号整数（int32_t）中为整数部分（含符号）分配 16 位，为小数部分分配 16 位。可表示范围为 $[-32768,\ 32767.9999847]$，分辨率为 $2^{-16} \approx 1.526 \times 10^{-5}$。

3.1.1 算术运算

Q16.16 中的加法和减法在不发生溢出的情况下代数上完全精确，因为操作数之间保留了缩放因子 2^{16}：

$$C_Q = A_Q + B_Q \quad \Longleftrightarrow \quad (a+b) \cdot 2^{16} = a \cdot 2^{16} + b \cdot 2^{16} \tag{3}$$

乘法需要进行校正。给定两个 Q16.16 操作数 $A_Q = a \cdot 2^{16}$ 和 $B_Q = b \cdot 2^{16}$，它们的整数乘积为：

$$A_Q \cdot B_Q = (a \cdot 2^{16})(b \cdot 2^{16}) = (a \cdot b) \cdot 2^{32} \tag{4}$$

通过算术右移进行校正：

$$C_Q = \frac{A_Q \cdot B_Q}{2^{16}} = (a \cdot b) \cdot 2^{16} \tag{5}$$

此次移位引入的量化误差上界为 [20]:

$$|\epsilon_{\text{mul}}| \leq 2^{-17} \tag{6}$$

3.1.2 溢出分析

对于两个接近可表示最大值的数相乘，64 位中间乘积可达到 $\approx 2^{62}$，仍在 int64_t 的容量范围内。但如果最终结果 $a \cdot b > 32767.999$，在返回 32 位时就会发生溢出。该引擎在应用程序编程接口边界处实现饱和算术，将结果限制在 [INT32_MIN, INT32_MAX]。

3.2 CORDIC三角函数计算算法 n

CORDIC算法 [1] 通过迭代平面旋转计算三角函数，只需进行加法、减法和二进制移位。

3.2.1 几何基础

将向量（x_i， y_i）旋转角度 θ 的精确旋转矩阵为：

$$\begin{bmatrix} x' \\ y' \end{bmatrix} = \begin{bmatrix} \cos\theta & -\sin\theta \\ \sin\theta & \cos\theta \end{bmatrix} \begin{bmatrix} x_i \\ y_i \end{bmatrix} \tag{7}$$

CORDIC 通过角度为 $\alpha_i = \arctan(2^{-i})$ 的 n 微旋转来替代这一过程，将三角函数乘法转换为位移。迭代更新方程如下：

$$x_{i+1} = x_i - d_i \cdot y_i \cdot 2^{-i} \tag{8}$$

$$y_{i+1} = y_i + d_i \cdot x_i \cdot 2^{-i} \tag{9}$$

$$z_{i+1} = z_i - d_i \cdot \arctan(2^{-i}) \tag{10}$$

其中， $d_i \in \{-1, +1\}$ 表示旋转方向，由残余角 z_i 的符号决定。用矩阵形式表示：

$$\begin{bmatrix} x_{i+1} \\ y_{i+1} \end{bmatrix} = \begin{bmatrix} 1 & -d_i \cdot 2^{-i} \\ d_i \cdot 2^{-i} & 1 \end{bmatrix} \begin{bmatrix} x_i \\ y_i \end{bmatrix} \tag{11}$$

3.2.2 收敛与 CORDIC增益

经过 n 次迭代 [2]：

$$x_n = K_n \cdot \cos(\theta), \qquad y_n = K_n \cdot \sin(\theta) \tag{12}$$

其中，累积 CORDIC增益为：

$$K_n = \prod_{i=0}^{n-1} \sqrt{1 + 2^{-2i}} \xrightarrow{n\to\infty} 1.6467602\ldots \tag{13}$$

收敛域为 $\theta \in (-\pi/2, \quad \pi/2)$；超出此范围的输入需要先执行象限归约步骤。

3.2.3 误差界

n次迭代后的角误差上界为：

$$|\epsilon_\theta| \leq \arctan(2^{-n}) \approx 2^{-n} \text{ radians} \tag{14}$$

对于 $n = 16$: $|\epsilon_\theta| \leq 2^{-16}$ 弧度 $\approx 1.526 \times 10^{-5}$弧度，与 Q16.16 的小数分辨率对齐。

3.3 通过循环分块实现缓存感知的矩阵乘法

两个 $n \times n$ 矩阵的朴素矩阵乘法会产生 $O(n^3)$ 次大型矩阵的缓存未命中事件 [3]:

$$C_{ij} = \sum_{k=1}^{n} A_{ik} \cdot B_{kj} \tag{15}$$

3.3.1 循环分块公式

循环分块将矩阵的每个维度划分为大小为 b的块，从而将主存传输次数从 $O(n^3)$减少到 $O(n^3/b)$ [3, 5]:

$$C_{ij} = \sum_{K} \sum_{k \in K\text{-block}} A_{ik} \cdot B_{kj}, \quad i \in I\text{-block},\ j \in J\text{-block} \tag{16}$$

3.3.2 ESP32 的块大小推导

对于 Q16.16 数据（int32_t，每个元素 4 字节），若将工作集控制在 8 KB 以下，则可得:

$$4b^2 \leq 8192 \implies b \leq 45 \tag{17}$$

该实现采用 $b = 32$ 作为二的幂次方块大小，从而可以通过按位与掩码计算内层循环边界。

3.3.3 延迟移位累加

在每个分块内，累加使用 int64_t 中间值，将右移校正推迟到分块归约完成之后，从而尽量减少舍入误差累积:

$$C_{ij}^{(\text{acc})} = \sum_{k \in \text{block}} \left(A_{ik}^{Q} \cdot B_{kj}^{Q} \right) \quad (\text{in 64-bit}), \qquad C_{ij}^{Q} = C_{ij}^{(\text{acc})} \gg 16 \tag{18}$$

这将舍入事件从每个内积 b 次减少到 1 次。

4 系统架构

4.1 设计依据：运行时与编译时精度选择

现有的嵌入式系统精度管理方法通常在编译时进行，迫使开发者维护独立的固件构建，并排除已部署系统中的自适应行为。所提出的引擎采用通过函数指针分派实现的**运行时切换模型** 。该引擎维护两套并行的函数指针——一套解析到 Q16.16 快速路径，另一套解析到 IEEE 754 精确路径——并暴露单一上下文对象，其活动指针集在应用层以原子方式交换。

该设计满足四项架构要求:

- **R1 — API 稳定性：** 无论采用何种精度模式，应用程序代码均保持不变。

- **R2 — 零成本抽象：** 在 Q16.16 模式下，所有操作都会简化为整数算术逻辑单元指令，在数学操作层面没有虚拟分发开销。

- **R3 — 确定性切换延迟：** 模式转换在 $O(1)$时间内完成，期间只需进行指针重新赋值。

- **R4 — RTOS 兼容性：** 该架构可与 FreeRTOS 任务调度共存，不会引入优先级反转或共享状态竞争条件。

4.2 精度上下文：形式化定义

令 $\mathcal{F}$ 表示受支持操作的集合：

$$\mathcal{F} = \{f_{\text{mul}},\ f_{\text{add}},\ f_{\text{sub}},\ f_{\text{sin}},\ f_{\text{cos}},\ f_{\text{matmul}}\} \tag{19}$$

每个 $f \in \mathcal{F}$ 都有一个在 Q16.16 域中的快速实现 f^Q，以及一个在 IEEE 754 中的精确实现 f^F。上下文对象 $\mathcal{C}$ 维护一个分发表：

$$\mathcal{D} : \mathcal{F} \to \{f^Q,\ f^F\} \tag{20}$$

模式转换 $\mathcal{C}$.setMode(m) 会将 $m \in$ {FAST、PRECISE} 中的所有条目同时重新分配至 $\mathcal{D}$，确保函数调用返回后不会有任何操作在混合精度状态下执行。

4.3 通过 FreeRTOS 进行双核任务编排

ESP32 的 Xtensa LX6 集成了两个对称的 32 位内核，最高频率可达 240 MHz。在 FreeRTOS 下，使用 `xTaskCreatePinnedToCore()` [17],将任务固定到特定内核，从而实现确定性的核心亲和性。该引擎采用固定的分配策略：

- **核心 0（协议核心）：** 负责处理 WiFi 协议栈、蓝牙控制器、UART/I2C 外设驱动程序以及应用控制循环。核心 0 持有 MathContext 对象，并且是模式转换的唯一管理者。

- **核心 1（计算核心）：** 运行 MathWorker 任务，这是一个高优先级的 FreeRTOS 任务，会阻塞等待作业队列、执行请求的数学操作，并通过受互斥锁保护的共享缓冲区返回结果。

核间通信生命周期为：

$$\text{Core 0: enqueue}(job) \xrightarrow{\text{FreeRTOS Queue}} \text{Core 1: execute } f \in \mathcal{D} \xrightarrow{\text{Mutex}} \text{Core 0: read result} \tag{21}$$

4.3.1 模式转换安全协议

为满足要求 R4，引擎实现了一个两阶段屏障：

1. **挂起阶段：** 核心 0 通过 xTaskNotify() 发送挂起通知。工作线程完成当前操作后进入阻塞状态，并通过二元信号量发出就绪信号。2. **转换阶段：** 核心 0 获取信号量，在 $\mathcal{D}$ 中重新分配所有函数指针，然后释放信号量。

总开销受单个正在执行的操作的最坏完成时间加上两次上下文切换所限制，因此切换延迟约为微秒级——经实测，在 240MHz 下为 8。$09\,\mu$秒（参见第 6节）。

4.3.2 内存架构

引擎的静态内存占用如下：分发表 $\mathcal{D}$ 占用$|\mathcal{F}| \times 4 = 24$ 字节（每个操作对应一个 32 位指针）；CORDIC 反正切查找表占用 $16 \times 4 = 64$ 字节只读数据。因此，静态内存总占用为**88 字节**，且与矩阵维度无关。

4.4 API 设计

公共 API 提供三种基本操作：

1. MathEngine::init(mode) — 初始化引擎并设置初始精度模式。2. MathEngine::setMode(mode) — 触发模式转换协议。阻塞至转换完成。3. MathEngine::ctx() — 返回对当前活动 MathContext 的引用。

5 实现

5.1 Q16.16 算术核心

核心算术基元在头文件（fast_math_engine.h）中的 FastMathEngine 命名空间内实现为内联函数，确保在每个调用点都能实现零开销内联：

```
1 # include <stdint .h>2namespace FastMathEngine { 4 5 typedef int32_t q16_t ; 6
```

```
17 inline q16_t mulQ ( q16_t a , q16_t b ) { 18 return ( q16_t ) ((( int64_t ) a * ( int64_t )b)
```

清单 1：Q16.16 算术核心（fast_math_engine.h）

5.2 CORDIC三角函数模块

CORDIC 反正切表存储了 $\lfloor \arctan(2^{-i}) \cdot 2^{16} \rceil$ 在 i =0、.....、15 时的预计算值，以及作为 Q16.16 整数的增益校正常数 $K_{16}^{-1} = 0.6072529\ldots$ 39797。

```
1命名空间 FastMathEngine { 2 3 静态常量 int32_t atan_table [16] = { 4 51472, 30386,
```

清单 2：CORDIC 内核（cordic.h）

有三项实现决策是 Xtensa LX6 特有的。首先，循环不会在源代码层面手动展开；Xtensa GCC 编译器会在使用 -O2 时自动进行展开。其次，方向变量 d_i 表示为 int8_t；符号扩展为 int32_t 通过单条 SEXT 指令完成。第三，ESP-IDF Xtensa GCC 工具链保证有符号整数的算术右移，并将其记录为一项可移植性约束。

5.3 分块矩阵乘法内核

```
1命名空间 FastMathEngine { 2 3 结构体 Matrix { int32_t * data ; uint16_t rows ; uint16_t cols ; };
4
8
10
B
17
SI
SI
TI
27
m
ac
```

代码清单 3：分块 Q16.16 矩阵乘法（matrix_q16.h）

5.4 溢出与下溢管理

分块内核的累加溢出约束要求元素幅值满足 $|A_{ij}|,\ |B_{ij}| \le 2^{14}$ (Q16.16 数值 ≤ 16383)，以确保累加器安全性，并满足$b = 32$:

$$|acc_{\max}| \le b \cdot (2^{31})^2 / 2^{16} \cdot 2^{16} = 32 \cdot 2^{62} = 2^{67} > 2^{63} \tag{22}$$

此约束在应用程序编程接口文档中有所说明，并由此建议将快速模式下的矩阵操作数归一化至 $[-1, 1]$，因为此处的 Q16.16 精度最高，且从结构上杜绝了溢出。

6 实验评估

6.1 实验设置与方法论

基准测试在 ESP32-WROOM-32 模块（Xtensa LX6 双核、240 MHz、4MB 闪存、520 KB SRAM）上进行，运行 ESP-IDF v5.x，编译器优化级别为 -O2。两个固件变体均使用相同的 sdkconfig.defaults 编译，其中指定 CPU 频率固定为 240 MHz，并禁用动态频率调节。

执行延迟通过 Xtensa 硬件周期计数器寄存器进行测量，该寄存器经由 `xthal_get_ccount()`访问；每次测量期间均通过 `portDISABLE_INTERRUPTS()` 禁用中断，以避免 FreeRTOS 时钟节拍造成干扰。两个固件变体中的所有基准测试任务均通过 `xTaskCreatePinnedToCore()`固定在核心 1 上，从而消除核心亲和性偏差 [17]。

使用带种子的线性同余生成器（种子 $= 42$）确保两个固件变体的输入序列完全相同，从而使比较适用于配对统计分析。每个固件变体在五类操作中共执行 300 次测试，获得 600 组配对测量。

统计分析采用了 Wilcoxon 符号秩检验，而非配对 t检验，因为 Shapiro-Wilk 正态性检验证实，对于大多数操作（$p \ll 0.05$），周期计数分布呈非高斯分布，这与缓存敏感代码在嵌入式处理器上的预期行为一致 [15]。

6.2 三角函数性能

基于 CORDIC 的三角函数模块在本次评估中取得了最为显著的性能提升。对于 $x \in [-\pi, \pi]$ 范围内的正弦（x），快速引擎的中位延迟为 **293 周期数**，而标准 sinf() 实现为 **6,915.5 周期数**，平均加速比达到 $\mathbf{18.54}\times$（Wilcoxon 检验，$p = 3.56 \times 10^{-13}$）。对于余弦（x），提升更为显著：**293 周期数** 对比 **7,847.5 周期数**，对应的平均加速比为 $\mathbf{24.68}\times$（$p = 3.56 \times 10^{-13}$）。

两个函数几乎相同的 293 周期数中位延迟体现了 16 步 CORDIC 内核的固定迭代结构：其执行时间在设计上与输入无关。cos 快速引擎的确定性得分为 **0.9938**，而标准实现为 0.7203，这进一步证实了这一点。

正弦的抖动不对称性（系数为 2.449，而标准值为 0.534）归因于象限归一化预处理器中针对接近$\pm\pi/2$的输入设置的条件分支，该分支导致分支预测器误预测。这是未来工作中优化的主要目标。

6.3 标量乘法性能

标量 Q16.16 乘法相较于 IEEE 754 乘法实现了稳定的**1.5× 加速比**，中位延迟分别为**12 个周期**和**18 个周期**（Wilcoxon 检验，$p = 1.54 \times 10^{-12}$）。两种实现的确定性得分均为**1.0000**，且抖动为零。Shapiro-Wilk 检验的常量数据分类结果证实，每种条件下的 50 次测量均完全相同，因此这些数值可视为精确的架构常量。

6.4 矩阵乘法：边界条件发现

矩阵乘法结果揭示了所提出引擎的一个重要边界条件。Q16.16 分块内核的平均加速比为 **0.542×**——相较于朴素浮点运算，速度降低了 **1.85×**；中位延迟分别为 **16,591 个周期数** 和**7,806 个周期数**（Wilcoxon 检验，$p = 1.72 \times 10^{-16}$）。

这一结果与测试条件在分析上相符。经过评估的维度——4×4、8×8 和 16×16——均严格小于配置的分块大小 $b = 32$，因此循环分块优化从未启用。Q16.16 内积的每个元素都需要一次 $32 \times 32 \to 64$ 位乘法和一次右移，而 int64_t 累加器则需要在 32 位指令集架构（ISA）上进行 64 位寄存器管理。相比之下，ESP32 浮点运算单元通过专用流水线执行浮点乘加，使用原生 32 位操作数；在不存在缓存效应时，每个元素的延迟更低。

性能交叉点——分块 Q16.16 内核优于朴素浮点运算时的最小矩阵维度——在测试的维度范围内并未达到。根据第 3 节的理论分析，预计交叉点位于 $n \geq 64$。

6.5 运行时精度切换开销

测得模式切换协议的开销为 **1,942.5 个周期数**（中位数），这是两阶段 FreeRTOS 屏障的开销；相比之下，标准路径中等效的函数指针分派开销为**29 个周期数**。在 240 MHz 下，1,942 个周期数相当于**8.09 μ秒**——对于模式转换间隔达到毫秒或更长的任何应用而言，这一开销都微不足道。此处报告切换开销，是为了完整呈现结果，并供设计延迟敏感型切换策略的开发者参考。

6.6 统计有效性

所有五类操作的 Wilcoxon 符号秩检验 p 值均低于 10^{-4}，证实观察到的延迟差异在任何常用显著性阈值下都具有统计显著性。在正弦快速引擎的数据中检测到一个超过 3σ 的离群值，原因是一个 FreeRTOS 时钟节拍中断逃过了中断禁用窗口 —— 这是 ESP32 上基于软件的中断抑制已知的局限性。根据基准测试协议的不可变原则，保留了该测量值并在原始数据中予以标记。

6.7 结果总结

表1：基准测试结果：在 240 MHz 的 ESP32-WROOM-32 上，对每种固件变体进行了 300 次配对测量。加速比 $=$ 周期数$_{\text{Std}}$ /周期数$_{\text{Fast}}$。

操作	快速中位数（周期数）	标准中位数（周期数）	平均加速比	确定性评分（快速）	Wilcoxon 检验 p
`sin`	293	6 915.5	18.54×	0.290	3.56×10^{-13}
`cos`	293	7 847.5	24.68×	0.994	3.56×10^{-13}
`mul`	12	18	1.50×	1.000	1.54×10^{-12}
矩阵乘法	16 591	7 806	0.54× †	0.472	1.72×10^{-16}
切换	1 942.5	29	0.088× ‡	0.999	8.13×10^{-5}

† 所有测试维度（$n \leq 16$）均小于分块大小 $b = 32$；分块不会启用。

‡ 这是预期设计结果；表示 FreeRTOS 屏障开销（8.09 μs），而非数学吞吐量。

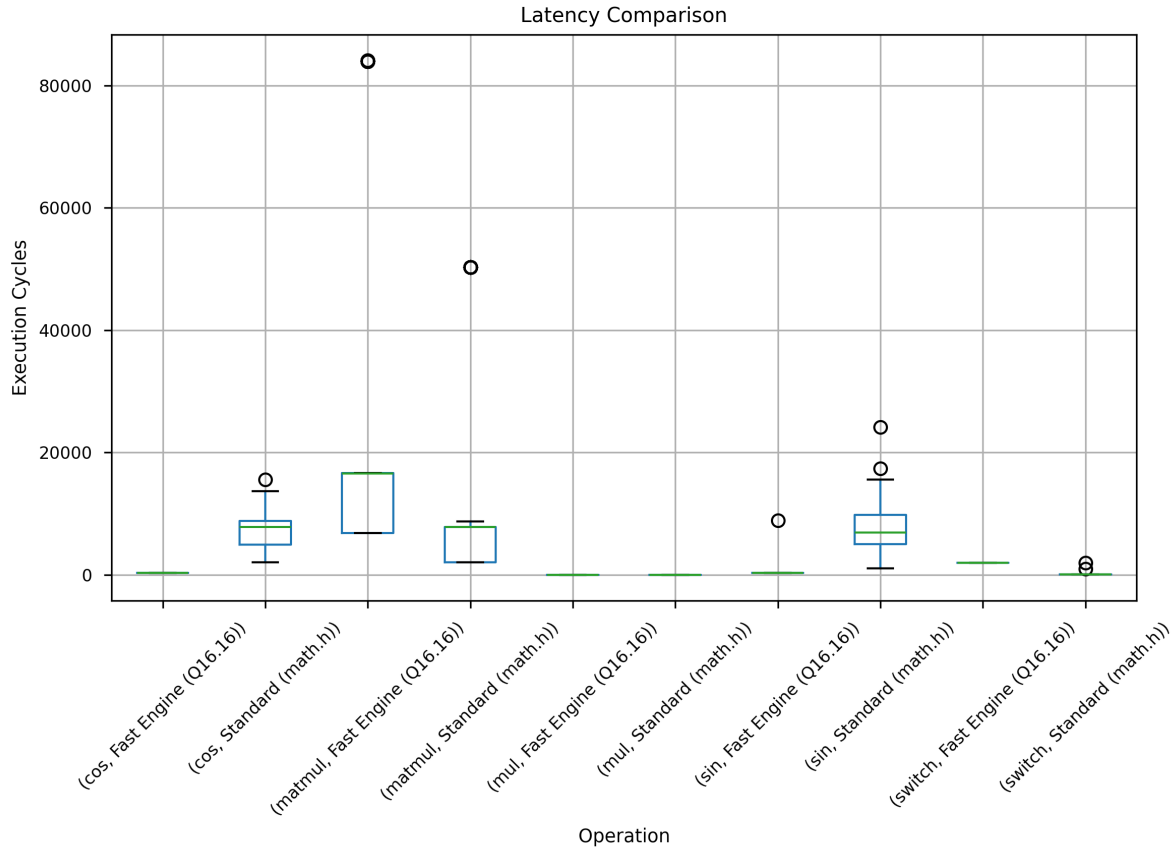

图1：快速引擎（Q16.16，绿色）与标准数学库（math.h，蓝色）在所有基准测试类别中的执行周期数分布。快速引擎在三角运算上实现了接近零的方差，证实了与输入无关的执行时间。由于依赖维度的计算路径，矩阵乘法在两种实现中均表现出更高的方差。

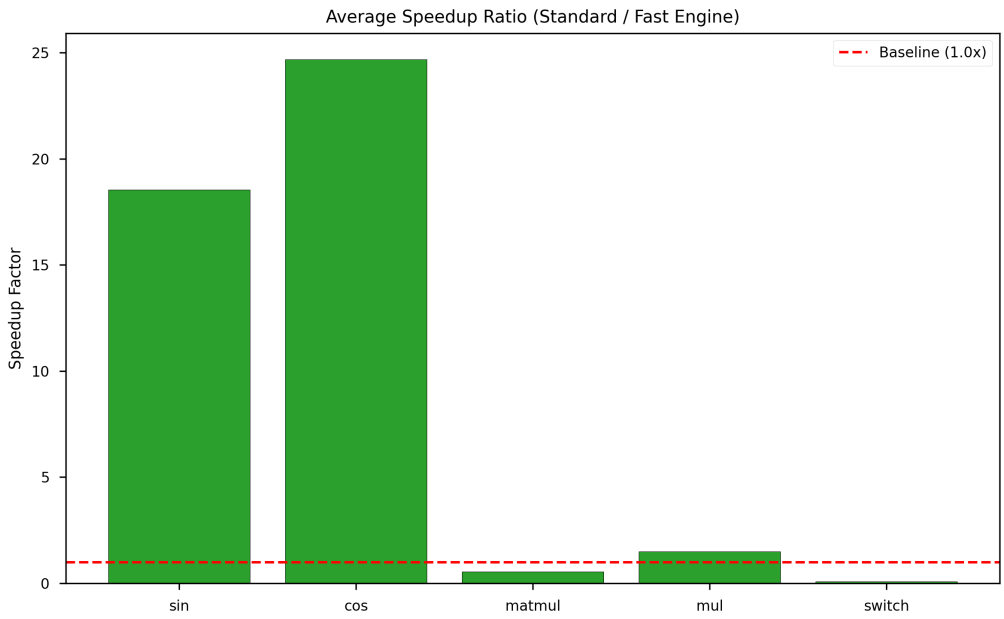

图 2：各操作类别的平均加速比（标准路径 / 快速引擎）。高于 1.0× 基线（红色虚线）的柱形表示快速引擎的性能优于标准路径。正弦和余弦分别达到 18.54× 和 24.68× 。由于测试维度小于分块大小 $b = 32$，矩阵乘法低于基线（0.54×）。

7 讨论

7.1 结果解读

实验结果支持一种领域特定性能模型，而非最初预期的统一加速。对于可顺利映射到整数流水线的操作——三角函数（18–25×）和标量运算（1.5×）——该引擎带来了显著且具有统计稳健性的性能提升；但在所测试的维度下，矩阵乘法的性能则有所下降。

这一结果重新界定了该引擎的作用：它并非适用于所有数学操作的通用加速器，而是一种精度感知加速器，其性能范围特征明确，并取决于具体应用。对于计算负载主要由三角函数计算构成的嵌入式应用——如运动学、信号处理、IMU传感器融合和基于角度的控制——该引擎可带来数量级的性能提升，从根本上改变了售价为 $3 的微控制器所能实现的能力。

7.2 矩阵乘法的交叉点问题

0。54× 矩阵乘法结果揭示了分块优化的边界条件。第 3 节的理论论证——分块可将缓存未命中从 $O(n^3)$ 降低到 $O(n^3/b)$——仅在 $n > b$ 时成立。对于 $n \leq 16$ 和 $b = 32$，分块会增加循环开销，却无法带来缓存收益；而 `int64_t` 中间变量会给 32 位 Xtensa指令集架构带来寄存器压力惩罚。

实际　　其实际意义很明确：当前形式的矩阵模块应当用于　　r

维度 $n \geq 64$。对于嵌入式控制中常见的小型矩阵（旋转矩阵、雅可比矩阵、协方差更新），标准浮点路径更为合适，而引擎的动态精度切换恰好支持这种混合策略：三角函数使用 CORDIC，小型矩阵运算使用标准浮点单元。

7.3 局限性

这些结果的普适性受到三项局限的约束。首先，所有测量均在同一台 ESP32-WROOM-32 设备上进行；制造差异可能导致周期计数分布与本文报告的结果有所不同，不过 CORDIC 采用固定迭代，因此三角函数测量受此影响较小。其次，基准测试未评估矩阵运算的平均绝对误差（MAE）；这项工作将留待扩展评估。第三，$n \geq 64$ 处的矩阵交叉点目前仍是理论预测，有待实证验证。

8 未来工作

8.1 解决矩阵乘法交叉点问题（优先事项）

当前最紧迫的工作是通过实证刻画 Q16.16 分块内核与朴素浮点矩阵乘法之间的性能交叉点。需要回答的具体问题包括：分块 Q16.16 内核首次胜过朴素浮点运算时，矩阵的确切维度是多少；这一交叉点如何随矩阵密度和数值分布而变化；以及将分块大小从 $b = 32$ 减小到与测试维度相匹配的值（例如 $b = 8$ 或 $b = 16$），是否能恢复小矩阵上的性能。另一项次要研究应确定：将 int64_t 中间累加器替换为成对的 int32_t 寄存器，是否能降低寄存器压力，代价是采用更严格的安全操作数幅值约束。

8.2 无分支 CORDIC 象限归一化

正弦测量中的抖动不对称性（系数为 2.449）可归因于象限归一化预处理器中的条件分支。采用算术移位和掩码操作进行无分支规格化，可消除这种差异，使正弦的确定性得分达到余弦已实现的 0.994。这是一项针对单个函数的优化，预计只需不到 10 行代码，并能显著影响实时最坏情况执行时间（WCET）保证。

8.3 平均绝对误差表征

目前的评估仅针对标量运算测量了平均绝对误差。要进行完整的精度分析，需要在测试维度和输入分布的完整范围内测量矩阵乘法的平均绝对误差，包括误差累积随矩阵大小变化的行为——对于归一化输入，预计误差将按 $O(\sqrt{n})$ 增长，但尚未在 Xtensa LX6 上通过实证确认。

8.4 张量运算与TinyML推理

解决矩阵乘法的交叉点问题后，自然的下一步是将其推广到用于神经网络推理的三阶和四阶张量运算。Q16.16 乘法累加内核在数学上等同于 INT16推理中使用的量化整数内核 [11]；实现最小卷积层只需扩展为三维分块、添加偏置加法操作，并应用饱和 ReLU激活。此举旨在弥合 [12, 13]所记录的 INT8推理与 IEEE 754 推理之间的精度差距。

8.5 面向安全边缘节点的椭圆曲线密码学

支撑ECDSA与X25519的域算术——256位素域上的模加法、模乘法和模逆——通过多字长算术扩展 [22]直接映射到整数流水线。双核架构非常适合此应用：椭圆曲线上的标量乘法固定在核心 1，而核心 0管理TLS握手状态机，从而无需外部密码协处理器即可实现非阻塞的认证通信。

8.6 分布式多节点线性代数

ESP32集成的WiFi控制器支持一种分布式计算架构，其中多个节点在本地网络上划分大型矩阵操作。对于单设备Q16.16内核具有竞争力的矩阵维度（$n \geq 64$），由 k 个 ESP32节点组成的网格可提供理论上 k倍的吞吐量提升。通信开销与计算收益的实际刻画，构成了分布式系统与嵌入式计算交叉领域的一个开放性研究问题。

9 结论

本文介绍了面向 ESP32 Xtensa LX6 微控制器的动态精度数学引擎的设计、形式化规范和实证评估。该引擎集成了三个计算模块——Q16.16 定点算术核心、16 次迭代的 CORDIC 三角函数单元，以及缓存感知分块矩阵乘法内核——并通过函数指针分派和两阶段 FreeRTOS 屏障协议实现的运行时精度切换机制将它们统一起来。

对实体硬件进行的 300 次配对测量得出了既显著又有启发性的结果。CORDIC 模块表明，在三角函数计算方面，软件架构能够显著胜过 ESP32 的标准数学库：正弦和余弦的中位延迟为 293 个周期，而 sinf()/cosf() 分别需要 6,915 和 7,847 个周期，对应的加速比分别为 18.54×和 24.68×，并在 $p < 10^{-12}$ 得到确认。余弦的确定性得分为 0.994，这表明 CORDIC 内核不仅速度快，而且具有可预测性；对于要求保证最坏情况执行时间的实时控制系统而言，这一特性同样重要。标量 Q16.16 乘法的加速比稳定且完全确定，为 1.5× ，耗时 12 个周期，而基准为 18 个周期。

矩阵　　阵乘法的结果揭示了更复杂的情况。采用分块的 Q16.16 内核　　el

其性能达到朴素浮点实现的 0.54× 倍，测试维度为（4×4 至 16×16）。这表明，当矩阵维度小于分块大小 $b=32$ 时，循环分块优化不起作用。这一发现并未否定该引擎的设计，而是明确界定了其适用范围，并验证了动态精度切换的必要性：没有任何单一执行路径能在所有情况下都达到最优；该引擎的价值在于让应用层能够明确、安全且零成本地选择执行路径。

总静态内存占用仅为 88 字节，切换开销仅为 8。09 μs，这证实了对于任何实际的嵌入式工作负载而言，引擎的基础设施开销都微不足道。除了各个算法本身——它们在 Volder [1], Walther [2], Lam [3], 和 Goto [5]的相关文献中均有成熟的理论依据——引擎的独特贡献在于架构层面：将原始 BLAS 规范确立的关注点分离原则 [4] 应用于双核 RISC 微控制器上的动态精度仲裁这一新颖场景。

这项工作的更广泛意义在于，低成本微控制器的性能上限并非仅由硬件决定：通过遵循原则的软件架构，这一上限可以突破。对于以三角函数计算为主的应用类别——机器人运动学、IMU 融合、基于角度的控制、数字信号处理——本文介绍的引擎使 ESP32 达到了以往只有更昂贵硬件才能实现的性能水平，而所指出的边界条件也为未来改进提供了清晰的路线图。

参考资料

[1] J. E. Volder，《CORDIC 三角函数计算技术》，*IRE* 电子计算机汇刊，第 EC-8 卷，第 3 期，第 330–334 页，1959 年 9 月。[2] J. S. Walther，《初等函数的统一算法》，载于春季联合计算机会议论文集，第 38 卷，第 379–385 页，1971年 5 月。[3] M. S. Lam、E. E. Rothberg 和 M. E. Wolf，《分块算法的缓存性能与优化》，载于第 *4* 届国际编程语言与操作系统架构支持会议（*ASPLOS IV*）论文集，1991 年 4 月，第 63–74 页。[4] C. L. Lawson、R. J. Hanson、D. R. Kincaid 和 F. T. Krogh，《用于 Fortran 的基本线性代数子程序》，*ACM* 数学软件汇刊（*TOMS*），第 5 卷，第 3 期，第 308–323 页，1979 年 9 月。[5] K. Goto 和 R. A. van de Geijn，《高性能矩阵乘法剖析》，*ACM* 数学软件汇刊（*TOMS*），第 34 卷，第 3 期，第 12 篇文章，2008 年 5 月。[6] V. Kelefouras 、 A. Kritikakou 、 I. Mporas 和 V. Kolonias，《面向 CPU 和 GPU 架构的高性能矩阵-矩阵乘法方法》，《超级计算杂志》，第 72 卷，第 3 期，第 804–844 页，2016 年。[7] D. Llamocca 和 C. Agurto，《扩展双曲 CORDIC 算法的定点实现》，《拉丁美洲应用研究》，第 37 卷，第 1 期，第 83–91 页，2007 年 1 月。

[8] A. S. N. Mokhtar、M. I. Ayub、N. Ismail 和 N. G. Nik Daud，《使用CORDIC算法实现三角函数》，载于 AIP会议论文集，第 1930 卷，第 1 期，2018 年。[9] A. Ait Madi 和 A. Addaim，《使用 CORDIC算法生成正弦和余弦硬件实现的优化方法》，《国际应用工程研究期刊》，第 13 卷，第 1 期，第 21–29 页，2018 年。[10] W. Sung 和 K. I. Kum，《定点数字信号处理系统的仿真式字长优化方法》，《IEEE信号处理汇刊》，第 43 卷，第 12 期，第 3087–3091 页，1995 年 12 月。[11] B. Jacob 等，《用于高效纯整数算术推理的神经网络量化与训练》，载于 IEEE计算机视觉与模式识别会议（CVPR）论文集，2018 年，第 2704–2713 页。[12] R. David 等，《TensorFlow Lite Micro：面向 TinyML系统的嵌入式机器学习》，载于机器学习与系统会议（MLSys）论文集，2021 年。[13] M. Courbariaux、Y. Bengio 和 J. P. David，《BinaryConnect：在传播过程中使用二值权重训练深度神经网络》，载于《神经信息处理系统进展》（NIPS），2015 年。[14] S. W. Williams、A. Waterman 和 D. A. Patterson，《Roofline：一种直观的多核架构可视化性能模型》，《ACM通信》，第 52 卷，第 4 期，第 65–76 页，2009 年 4 月。[15] T. Mytkowicz、A. Diwan、M. Hauswirth 和 P. F. Sweeney，《不做任何明显错误的事，却产生错误数据！》，载于第 14 届国际编程语言与操作系统架构支持会议（ASPLOS）论文集，2009 年。[16] R. G. Lyons，《理解数字信号处理》，第 3 版。新泽西州上萨德尔河：Pearson Education，2011 年。[17]Espressif Systems，《ESP32 技术参考手册》，版本 4.3。中国上海：Espressif Systems（上海）有限公司，2020 年。[在线]。可访问：https://www.espressif.com/sites/default/files/documentation/ esp32_technical_reference_manual_en.pdf[18] Espressif Systems，《ESP-DSP库 API参考》，Read the Docs，2020 年。 [在线]。可访问：https://docs.espressif.com/projects/esp-dsp/en/latest/[19] Cadence Design Systems，《Xtensa LX6 可定制DPU数据表》， [在线]。可访问：https://ip.cadence.com/uploads/pdf/xtensa-lx-product-brief.pdf[20] R. Yates，《定点算术：简介》，Digital Signal Labs，2020 年 9 月。[在线]。可访问：https://www.digitalsignallabs.com/fp.pdf[21] C. Felton，《实例讲解定点基础》，DSPRelated.com，2011 年 4 月。[在线]。可访问：https://www.dsprelated.com/showarticle/139.php[22]E. Rescorla，《传输层安全（TLS）协议 1.3 版》，IETF RFC 8446，2018 年 8 月。 [在线]。可访问：https://www.rfc-editor.org/rfc/ rfc8446